

# СПОНТАННОЕ ПАРАМЕТРИЧЕСКОЕ РАССЕЯНИЕ В ДВУОСНЫХ НЕЛИНЕЙНО-ОПТИЧЕСКИХ КРИСТАЛЛАХ: ОСОБЕННОСТИ СОСТОЯНИЯ ПОЛЯРИЗАЦИИ ИЗЛУЧЕНИЯ

Д. Н. Фроловцев\*, С. А. Магницкий

Московский государственный университет им. М. В. Ломоносова, Физический факультет  
119991, Москва, Россия

Поступила в редакцию 6 сентября 2023 г.,  
после переработки 23 сентября 2023 г.  
Принята к публикации 25 сентября 2023 г.

Изложен последовательный анализ квантового состояния поляризации излучения спонтанного параметрического рассеяния (СПР) и рассмотрены особенности квантового состояния поляризации СПР в двuosных нелинейно-оптических кристаллах. Показано, что величина угла девиации поляризации СПР может превышать  $15^\circ$ , а угол между векторами  $\mathbf{D}$  сигнальной и холостой волн —  $30^\circ$ . Также даны оценки искривления конуса, формируемого излучением СПР в двuosных кристаллах. Проанализировано влияние девиации поляризации СПР в неколлинеарном режиме на запутанность бифотонных состояний, генерируемых двухкристальной схемой, показано, что параметр сцепленности генерируемого квантового состояния может ухудшаться на 6%, и выявлены условия, при которых сцепленность может быть полностью восстановлена.

DOI: 10.31857/S0044451024010048

## 1. ВВЕДЕНИЕ

Спонтанное параметрическое рассеяние света [1] (СПР) — это эффект рождения пары фотонов в результате трехволнового взаимодействия в квадратично-нелинейной среде волны накачки и флуктуаций электромагнитного вакуума. При этом выполняются законы сохранения энергии и импульса, которые можно записать в виде

$$\begin{aligned} \hbar\omega_p &= \hbar\omega_s + \hbar\omega_i \\ \hbar\mathbf{k}_p &= \hbar\mathbf{k}_s + \hbar\mathbf{k}_i, \end{aligned} \quad (1)$$

где  $\omega_{p,s,i}$  и  $\mathbf{k}_{p,s,i}$  — частота и волновой вектор волн накачки ( $p$ ), сигнальной ( $s$ ) и холостой ( $i$ ) волн соответственно.

В случае СПР первого типа, который рассматривается в настоящей работе, накачка является волной одного типа, а сигнальная и холостая волны — дру-

гого типа. В одноосных кристаллах сигнальная и холостая волны являются либо *обыкновенными*, либо *необыкновенными*, а в двuosных кристаллах — либо *быстрыми*, либо *медленными*.

Эффект СПР занимает одно из центральных мест в современных квантово-оптических технологиях и исследованиях [2, 3]. Так, эффект СПР используется в метрологии для безэталонного определения квантовой эффективности [4] детекторов одиночных фотонов [5–7], на основе СПР разрабатываются методы измерения расстояний с точностью выше стандартного квантового предела [8]. Особое место СПР занимает в квантовых технологиях [9]. СПР-источники запутанных по поляризации фотонных пар являются «кирпичиками» для реализации многофотонных запутанных квантовых состояний. Таким способом впервые было получено состояние Гринбергера–Хорна–Цайлингера (ГХЦ) [10] трех поляризационно-запутанных фотонов, а в дальнейшем удалось получить максимально запутанное квантовое состояние 12 фотонов, каждый из которых находился в отдельной пространственной моде [11].

Одна из ключевых схем генерации поляризационно-запутанных фотонных пар — это двухкристальная схема [12], использующая

\* E-mail: dfrolovtsev@gmail.com

СПР с первым типом синхронизма в неколлинеарном режиме. Неколлинеарный режим имеет преимущество по сравнению с коллинеарным режимом (например, при использовании в кристаллах с регулярной доменной структурой [13, 14]) в том, что позволяет управлять частотной [15–17] и угловой [18, 19] степенями свободы квантового состояния за счет изменения угла рассеяния [20]. Также с использованием неколлинеарного режима получены квантовые состояния с большой степенью квантовой запутанности [21–23]. Однако в неколлинеарном режиме вопрос о направлении поляризации волны, в отличие от коллинеарного режима, становится нетривиальным.

В неколлинеарной геометрии СПР волновые векторы  $\mathbf{k}_s$  и  $\mathbf{k}_i$  не параллельны  $\mathbf{k}_p$ , и направление колебаний векторов  $\mathbf{E}$  и  $\mathbf{D}$  сигнальной и холостой волн зависят от направления рассеяния, в чем и состоит явление девиации поляризации СПР. Если для «обычной» нелинейной оптики явление девиации поляризации не приводит к качественным изменениям в процессе параметрической генерации, то в случае СПР оно становится значимым при попытках построения двухкристалльных схем с высокой степенью запутанности квантового поляризационного состояния [24, 25]. Направление колебаний векторов  $\mathbf{E}$  и  $\mathbf{D}$  в одноосных кристаллах исследовалось в литературе [26], однако для двуосных кристаллов, насколько нам известно, вопрос девиации поляризации СПР не изучался. Основное внимание было уделено численному решению уравнения Френеля и получению значения показателя преломления в двуосных кристаллах для расчета синхронизма генерации второй гармоники [27–29] и СПР [30]. Отметим, что интерес к двуосным кристаллам определяется тем, что в некоторых двуосных кристаллах значение эффективной нелинейности превосходит значение эффективной нелинейности в одноосных кристаллах. Например, в кристалле  $\text{BiVO}_4$  значение эффективной нелинейности в два раза выше ( $\approx 3.5$  пм/В), чем в  $\text{VVO}$  ( $\approx 1.75$  пм/В) [31] для вырожденного по частоте СПР с накачкой на длине волны 405 нм. Особую роль направление плоскости поляризации излучения СПР играет в новой области фантомной поляриметрии [32], в которой используются СПР-источники, работающие в неколлинеарном режиме [33, 34]. Отклонение плоскости поляризации излучения в объектном плече в фантомном поляриметре приведет к систематической погрешности в определении угла азимута анизотропии исследуемого объекта.

Цель настоящей работы — получить выражение для девиации направления колебаний вектора  $\mathbf{D}$  излучения СПР в двуосных кристаллах и определить степень влияния девиации поляризации на запутанность квантовых состояний, генерируемых двухкристалльной схемой, использующей двуосные кристаллы.

В разд. 2 приведены выражения для направления колебаний векторов  $\mathbf{E}$  и  $\mathbf{D}$  собственных волн в двулучепреломляющих кристаллах. Мы исходили из того, что направление колебаний вектора  $\mathbf{D}$  собственной волны является полуосью эллипса-сечения эллипсоида волновых нормалей плоскостью, перпендикулярной вектору  $\mathbf{k}$ . Решение включает в себя как случай одноосных, так и случай двуосных кристаллов. В разд. 3 приведены выражения для квантового поляризационного состояния излучения СПР в коллинеарном и неколлинеарном режимах.

В разд. 4 даны численные оценки влияния девиации поляризации СПР в двухкристалльной схеме для двуосного кристалла  $\text{BiVO}_4$  и сделано сравнение для случая одноосного кристалла  $\text{VVO}$ . Показано, что в двухкристалльной схеме, использующей кристаллы  $\text{BiVO}_4$ , параметр сцепленности вследствие явления девиации поляризации ухудшается, и выявлены условия, при которых ухудшение сцепленности может быть полностью восстановлено. В разд. 5 подведены итоги работы.

## 2. ПОЛЯРИЗАЦИЯ СВЕТА В ДВУОСНЫХ КРИСТАЛЛАХ

Для нахождения направления колебаний вектора  $\mathbf{D}$  и определения величины показателя преломления будем использовать уравнение эллипсоида волновых нормалей [35–37]

$$\frac{X^2}{\varepsilon_x} + \frac{Y^2}{\varepsilon_y} + \frac{Z^2}{\varepsilon_z} = 1, \quad (2)$$

где  $\varepsilon_{x,y,z}$  — главные компоненты тензора диэлектрической проницаемости,  $\{X, Y, Z\}$  — кристаллофизическая система координат, в которой тензор диэлектрической проницаемости имеет диагональный вид. Для нахождения направления колебаний вектора  $\mathbf{D}$  требуется построить сечение эллипсоида волновых нормалей (2) плоскостью, проходящей через начало системы координат и перпендикулярной вектору  $\mathbf{k} = \{k_X, k_Y, k_Z\}$ . Сечением является эллипс, главные полуоси которого задают направление колебаний  $\mathbf{D}$ , а их длины равны значениям показателей преломления соответствующих волн.

Уравнение секущей плоскости имеет вид

$$(\mathbf{k}, \mathbf{r}) = Xk_X + Yk_Y + Zk_Z = 0. \quad (3)$$

Проведем процедуру нахождения направления колебаний вектора  $\mathbf{D}$  и показателей преломления с использованием аффинного преобразования системы координат [38], в которой эллипсоид волновых нормалей будет иметь вид сферы единичного радиуса. Для этого сделаем следующую замену переменных  $(X, Y, Z) \rightarrow (u, v, w)$ :

$$u = X/\sqrt{\varepsilon_x}, v = Y/\sqrt{\varepsilon_y}, w = Z/\sqrt{\varepsilon_z}, \quad (4)$$

$$u^2 + v^2 + w^2 = 1.$$

При этом уравнение секущей плоскости в новой системе координат будет иметь вид

$$k_X \sqrt{\varepsilon_x} u + k_Y \sqrt{\varepsilon_y} v + k_Z \sqrt{\varepsilon_z} w = 0. \quad (5)$$

Вектор, перпендикулярный секущей плоскости, в новой системе координат можно записать в виде

$$\kappa = (k_X \sqrt{\varepsilon_x}, k_Y \sqrt{\varepsilon_y}, k_Z \sqrt{\varepsilon_z}) = (\kappa_u, \kappa_v, \kappa_w). \quad (6)$$

В случае  $k_X^2 + k_Y^2 = 0$ ,  $k_Z \neq 0$  в анизотропной среде могут распространяться две собственные волны с направлениями колебаний вектора  $\mathbf{D}$  вдоль осей  $X$  и  $Y$  и с показателями преломления  $\sqrt{\varepsilon_x}$  и  $\sqrt{\varepsilon_y}$  соответственно.

Рассмотрим случай  $k_X^2 + k_Y^2 \neq 0$ . Найдем уравнение секущей фигуры в параметрическом виде. Для случая системы координат  $\{u, v, w\}$  секущей фигурой будет окружность единичного радиуса, лежащая в плоскости, перпендикулярной к  $\kappa$ . Как нетрудно проверить прямой подстановкой, следующие два вектора перпендикулярны к  $\kappa$  и друг другу:

$$\mathbf{e}_1 = \frac{1}{\sqrt{\kappa_u^2 + \kappa_v^2}} \begin{pmatrix} \kappa_v \\ -\kappa_u \\ 0 \end{pmatrix},$$

$$\mathbf{e}_2 = \frac{[\kappa \times \mathbf{e}_1]}{|\kappa|} = \frac{1}{\sqrt{(\kappa_u^2 + \kappa_v^2)(\kappa_u^2 + \kappa_v^2 + \kappa_w^2)}} \times \begin{pmatrix} \kappa_u \kappa_w \\ \kappa_v \kappa_w \\ -(\kappa_u^2 + \kappa_v^2) \end{pmatrix}. \quad (7)$$

Таким образом, в системе координат  $\{u, v, w\}$  уравнение секущей фигуры в параметрическом виде записывается как

$$\mathbf{r}_{\{u,v,w\}} = \mathbf{e}_1 \sin s + \mathbf{e}_2 \cos s, \quad (8)$$

где  $s$  — параметр, принимающий значения от 0 до  $2\pi$ . В исходных обозначениях

$$\mathbf{e}_1 = \frac{1}{\sqrt{k_X^2 \varepsilon_x + k_Y^2 \varepsilon_y}} \begin{pmatrix} k_Y \sqrt{\varepsilon_y} \\ -k_X \sqrt{\varepsilon_x} \\ 0 \end{pmatrix},$$

$$\mathbf{e}_2 = \frac{1}{\sqrt{(k_X^2 \varepsilon_x + k_Y^2 \varepsilon_y)(k_X^2 \varepsilon_x + k_Y^2 \varepsilon_y + k_Z^2 \varepsilon_z)}} \times \begin{pmatrix} k_X k_Z \sqrt{\varepsilon_x \varepsilon_z} \\ k_Y k_Z \sqrt{\varepsilon_y \varepsilon_z} \\ -(k_X^2 \varepsilon_x + k_Y^2 \varepsilon_y) \end{pmatrix}. \quad (9)$$

После обратного преобразования координат  $\{u, v, w\} \rightarrow \{X, Y, Z\}$ ,  $\mathbf{e}_1 \rightarrow \mathbf{f}_1$ ,  $\mathbf{e}_2 \rightarrow \mathbf{f}_2$  имеем

$$\mathbf{f}_1 = \sqrt{\frac{\varepsilon_x \varepsilon_y}{k_X^2 \varepsilon_x + k_Y^2 \varepsilon_y}} \begin{pmatrix} k_Y \\ -k_X \\ 0 \end{pmatrix},$$

$$\mathbf{f}_2 = \sqrt{\frac{\varepsilon_z}{(k_X^2 \varepsilon_x + k_Y^2 \varepsilon_y)(k_X^2 \varepsilon_x + k_Y^2 \varepsilon_y + k_Z^2 \varepsilon_z)}} \times \begin{pmatrix} k_X k_Z \varepsilon_x \\ k_Y k_Z \varepsilon_y \\ -(k_X^2 \varepsilon_x + k_Y^2 \varepsilon_y) \end{pmatrix}. \quad (10)$$

При этом уравнение эллипса, полученного в результате сечения эллипсоида Френеля плоскостью, перпендикулярной к  $\mathbf{k}$ , в системе координат  $\{X, Y, Z\}$  имеет вид

$$\mathbf{r}(X, Y, Z) = \mathbf{f}_1 \cos s + \mathbf{f}_2 \sin s, \quad (11)$$

где  $s$  — параметр, принимающий значения от 0 до  $2\pi$ . Направления его главных полуосей задают направление колебаний вектора  $\mathbf{D}$ , а длины полуосей равны соответствующим показателям преломления.

В одноосных кристаллах  $\varepsilon_x = \varepsilon_y$ , и  $(\mathbf{f}_1, \mathbf{f}_2) = 0$ , т.е. векторы  $\mathbf{f}_1$  и  $\mathbf{f}_2$  являются полуосями эллипса и задают направления колебаний вектора  $\mathbf{D}$ , а их длины определяют показатели преломления. Отметим также, что вектор  $\mathbf{f}_1$ , определяющий направление колебаний вектора  $\mathbf{D}$  и показатель преломления для обыкновенной волны, лежит в плоскости  $(XY)$ . При этом его длина не зависит от направления  $\mathbf{k}$ , что совпадает с известным результатом для показателя преломления обыкновенной волны в двулучепреломляющих кристаллах.

Однако в двуосных кристаллах, в которых все три главные компоненты тензора диэлектрической проницаемости не равны друг другу,  $(\mathbf{f}_1, \mathbf{f}_2) \neq 0$ , и

главные полуоси эллипса определяются выражением (11),  $\mathbf{r}(s_{1,2,3,4})$  при значениях параметров

$$\begin{aligned} s_1 &= \frac{\pi}{4} - \frac{1}{2} \operatorname{arctg} \frac{|\mathbf{f}_1|^2 - |\mathbf{f}_2|^2}{(\mathbf{f}_1, \mathbf{f}_2)}, \\ s_2 &= s_1 + \pi/2, \\ s_{3,4} &= t_{1,2} + \pi, \end{aligned} \quad (12)$$

при этом  $\mathbf{r}(s_{3,4})$  и  $\mathbf{r}(s_{1,2})$  соответственно равны по модулю и противоположно направлены.

Отметим, что в системе координат  $\{X, Y, Z\}$  тензор  $\varepsilon_{ij}$  диагонализирован и обратный к нему тензор  $\varepsilon_{ij}^{-1}$  имеет вид

$$\varepsilon_{ij}^{-1} = \begin{pmatrix} \varepsilon_x^{-1} & 0 & 0 \\ 0 & \varepsilon_y^{-1} & 0 \\ 0 & 0 & \varepsilon_z^{-1} \end{pmatrix}. \quad (13)$$

Учитывая, что

$$\mathbf{E} = \frac{\varepsilon_{ij}^{-1}}{\varepsilon_0} \mathbf{D},$$

имея координаты вектора  $\mathbf{D}$ , нетрудно вычислить координаты вектора  $\mathbf{E}$ .

### 3. СОСТОЯНИЕ ПОЛЯРИЗАЦИИ ИЗЛУЧЕНИЯ СПР

#### 3.1. Коллинеарный режим рассеяния

При синхронизме первого типа при равенстве частот сигнальной и холостой волн коллинеарный режим рассеяния соответствует так называемому *вырожденному* режиму, т.е. в результате СПР в одной и той же моде рождается два фотона [39]. Квантовое поляризационное состояние излучения СПР имеет вид

$$|\psi\rangle = \mathbf{p}_{k_s} (\hat{a}^\dagger(\mathbf{p}_{k_s}, \mathbf{k}_s))^2 / \sqrt{2} |\operatorname{vac}\rangle, \quad (14)$$

где  $\mathbf{p}_{k_s}$  — единичный вектор, соответствующий направлению колебаний вектора  $\mathbf{D}$  излучения СПР, имеющего волновой вектор  $\mathbf{k}_s$ ;  $\hat{a}^\dagger(\mathbf{p}_{k_s}, \mathbf{k}_s)$  — бозонный оператор рождения фотона в моде с поляризацией  $\mathbf{p}_{k_s}$  и волновым вектором  $\mathbf{k}_s$ ;  $|\operatorname{vac}\rangle$  — вакуумное состояние электромагнитного поля. Для нахождения квантового поляризационного состояния СПР требуется определить лишь направление поляризации собственной волны, распространяющейся в двулучепреломляющем кристалле.

В коллинеарной геометрии СПР  $\mathbf{k}_s = \mathbf{k}_i \parallel \mathbf{k}_p$ . Направление волнового вектора накачки  $\mathbf{k}_p$  задается

двумя кристаллографическими углами — полярным углом  $\theta_p$  и азимутальным углом  $\phi_p$  (рис. 1). Координаты вектора  $\mathbf{k}_s$  в системе координат  $\{X, Y, Z\}$

$$\mathbf{k}_s = |\mathbf{k}_s| \begin{pmatrix} \sin \theta_p \cos \phi_p \\ \sin \theta_p \sin \phi_p \\ \cos \theta_p \end{pmatrix}. \quad (15)$$

Векторы  $\mathbf{f}_1$  и  $\mathbf{f}_2$  принимают значения

$$\mathbf{f}_1 = \sqrt{\frac{\varepsilon_x \varepsilon_y}{\cos^2 \phi_p \varepsilon_x + \sin^2 \phi_p \varepsilon_y}} \begin{pmatrix} \sin \phi_p \\ -\cos \phi_p \\ 0 \end{pmatrix}, \quad (16)$$

$$\begin{aligned} \mathbf{f}_2 &= (\varepsilon_z)^{1/2} (\varepsilon_x \cos^2 \phi_p + \varepsilon_y \sin^2 \phi_p)^{-1/2} \times \\ &\times (\varepsilon_x \cos^2 \phi_p \sin^2 \theta_p + \varepsilon_y \sin^2 \phi_p \sin^2 \theta_p + \varepsilon_z \cos^2 \theta_p)^{-1/2} \times \\ &\times \begin{pmatrix} \cos \theta_p \cos \phi_p \varepsilon_x \\ \cos \theta_p \sin \phi_p \varepsilon_y \\ -\sin \theta_p (\cos^2 \phi_p \varepsilon_x + \cos^2 \phi_p \varepsilon_y) \end{pmatrix}. \end{aligned}$$

Также перейдем в систему координат  $\{x, y, z\}$ , в которой ось  $z$  направлена вдоль вектора  $\mathbf{k}$ , ось  $x$  лежит в плоскости  $(Z, \mathbf{k})$ . Направление колебаний вектора  $\mathbf{D}$  будет лежать в плоскости  $xy$ . Систему координат  $\{xyz\}$  будем называть системой координат, связанной с накачкой. Преобразование системы координат  $\{X, Y, Z\} \rightarrow \{x, y, z\}$  можно осуществить с помощью последовательности поворотов вокруг оси  $Z$  на угол  $\phi_p$  и затем вокруг новой оси  $y'$  на угол  $\theta_p$ . В результате матрица преобразования системы координат имеет вид

$$\begin{aligned} M &= R_y(-\theta_p) R_z(-\phi_p) = \\ &= \begin{pmatrix} \cos \theta_p \cos \phi_p & \cos \theta_p \sin \phi_p & -\sin \theta_p \\ -\sin \phi_p & \cos \phi_p & 0 \\ \cos \phi_p \sin \theta_p & \sin \theta_p \sin \phi_p & \cos \theta_p \end{pmatrix}, \end{aligned} \quad (17)$$

где

$$R_y(\theta) = \begin{pmatrix} \cos \theta & 0 & \sin \theta \\ 0 & 1 & 0 \\ -\sin \theta & 0 & \cos \theta \end{pmatrix}$$

— матрица поворота вокруг оси  $y$  на угол  $\theta$ , а

$$R_z(\phi) = \begin{pmatrix} \cos \phi & -\sin \phi & 0 \\ \sin \phi & \cos \phi & 0 \\ 0 & 0 & 1 \end{pmatrix} \quad (18)$$

— матрица поворота вокруг оси  $z$  на угол  $\phi$  [40].

Векторы  $\mathbf{f}_1$  и  $\mathbf{f}_2$  в этой системе координат записываются как

$$\mathbf{f}_1^{xyz} = \sqrt{\frac{\varepsilon_x \varepsilon_y}{\cos^2 \phi_p \varepsilon_x + \sin^2 \phi_p \varepsilon_y}} \begin{pmatrix} 0 \\ -1 \\ 0 \end{pmatrix}, \quad (19)$$

$$\begin{aligned} \mathbf{f}_2^{xyz} &= (\varepsilon_z)^{1/2} (\varepsilon_x \cos^2 \phi_p + \varepsilon_y \sin^2 \phi_p)^{-1/2} \times \\ &\times (\varepsilon_x \cos^2 \phi_p \sin^2 \theta_p + \varepsilon_y \sin^2 \phi_p \sin^2 \theta_p + \varepsilon_z \cos^2 \theta_p)^{-1/2} \times \\ &\times \begin{pmatrix} \frac{\varepsilon_x + \varepsilon_y}{2} + \frac{\varepsilon_x - \varepsilon_y}{2} \cos 2\phi_p \\ -\frac{\varepsilon_x - \varepsilon_y}{2} \cos \theta_p \cos 2\phi_p \\ 0 \end{pmatrix}. \end{aligned}$$

Если  $\varepsilon_x \neq \varepsilon_y$ , то для нахождения направления колебаний вектора  $\mathbf{D}$  собственных волн в анизотропной среде нужно выражения для  $\mathbf{f}_1^{xyz}$  и  $\mathbf{f}_2^{xyz}$  из (19) подставить в (12) и получить значения параметров  $s_1$  и  $s_2$ . При этом направления колебаний вектора  $\mathbf{D}$ ,  $\mathbf{p}_1$  и  $\mathbf{p}_2$ , определяются выражениями

$$\begin{aligned} \mathbf{p}_1 &= \mathbf{f}_1^{xyz} \cos s_1 + \mathbf{f}_2^{xyz} \sin s_1, \\ \mathbf{p}_2 &= \mathbf{f}_1^{xyz} \cos s_2 + \mathbf{f}_2^{xyz} \sin s_2, \end{aligned} \quad (20)$$

а показатели преломления волн равны соответственно  $|\mathbf{p}_1|$  и  $|\mathbf{p}_2|$ .

Для случая одноосных кристаллов выражения упрощаются. Положим

$$\varepsilon_x = \varepsilon_y = \varepsilon_{\perp}, \quad \varepsilon_z = \varepsilon_{\parallel}.$$

Отметим, что

$$(\mathbf{f}_1^{xyz}, \mathbf{f}_2^{xyz}) = 0,$$

а значит,

$$\mathbf{p}_1 = \mathbf{f}_1^{xyz}, \quad \mathbf{p}_2 = \mathbf{f}_2^{xyz}.$$

При этом

$$\begin{aligned} \mathbf{p}_1^u &= \sqrt{\varepsilon_{\perp}} \begin{pmatrix} 0 \\ -1 \\ 0 \end{pmatrix}, \\ \mathbf{p}_2^u &= \sqrt{\frac{\varepsilon_{\parallel} \varepsilon_{\perp}}{\varepsilon_{\perp} \sin^2 \theta_p + \varepsilon_{\parallel} \cos^2 \theta_p}} \begin{pmatrix} 1 \\ 0 \\ 0 \end{pmatrix}, \end{aligned} \quad (21)$$

т. е. получаем известные выражения для показателя преломления *обыкновенной* волны

$$n_o = \sqrt{\varepsilon_{\perp}}$$

и *необыкновенной* волны

$$n_e = (\sin^2 \theta_p / \varepsilon_{\perp} + \cos^2 \theta_p / \varepsilon_{\parallel})^{-1/2}.$$

Для нахождения направления вектора  $\mathbf{D}$  обычно вводят понятие главной плоскости — плоскости, содержащей оптическую ось кристалла ( $Z$ ) и вектор  $\mathbf{k}$ . Как нетрудно видеть, вектор  $\mathbf{D}$  обыкновенной волны  $\mathbf{p}_1$  нормален к главной плоскости, а вектор  $\mathbf{D}$  необыкновенной волны  $\mathbf{p}_2$  лежит в главной плоскости.

Значение  $\mathbf{p}_1$  или  $\mathbf{p}_2$ , которому соответствует большая величина показателя преломления, после нормировки на единичную длину и является искомым вектором  $\mathbf{p}_{k_s}$  в (14).

### 3.2. Неколлинеарный режим рассеяния

В неколлинеарном режиме СПР фотоны рождаются в разных модах. Такой режим является невырожденным, и квантовое поляризационное состояние излучения СПР в приближении заданного поля плоской монохроматической накачки и бесконечно длинного кристалла [41] можно представить в виде

$$|\psi\rangle \propto \int_0^{\pi} d\phi f(\phi) |\mathbf{p}_s(\theta_s(\phi), \phi)\rangle \otimes |\mathbf{p}_i(\theta_i(\phi), \phi + \pi)\rangle. \quad (22)$$

Здесь  $f(\phi)$  — функция, описывающая зависимость эффективности рассеяния от азимутального угла,  $|\mathbf{p}_{s,i}\rangle$  — квантовое поляризационное состояние фотона в сигнальной ( $s$ ) и холостой ( $i$ ) модах, имеющее вид

$$|\mathbf{p}_{s,i}\rangle = \mathbf{p}_{k_{s,i}}(\theta_{s,i}, \phi_{s,i}) \hat{a}^{\dagger}(\mathbf{p}_{k_{s,i}}, \mathbf{k}_{s,i}) |\text{vac}\rangle, \quad (23)$$

где  $\mathbf{p}_{k_{s,i}}(\theta_{s,i}, \phi_{s,i})$  — единичный вектор, задающий направление колебаний вектора  $\mathbf{D}$  излучения СПР, рассеянного под полярным углом  $\theta_{s,i}$  и азимутальным углом  $\phi_{s,i}$  (см. рис. 1),  $\hat{a}^{\dagger}(\mathbf{p}_{k_{s,i}}, \mathbf{k}_{s,i})$  — бозонный оператор рождения фотона в моде с поляризацией  $\mathbf{p}_{k_{s,i}}$  и волновым вектором  $\mathbf{k}_{s,i}$ . Индексы « $s$ » и « $i$ » отвечают сигнальной и холостой волнам соответственно.

Для нахождения направления колебаний вектора  $\mathbf{D}$  излучения в сигнальной  $\mathbf{p}_{k_s}$  и холостой  $\mathbf{p}_{k_i}$  волнах в системе координат  $\{XYZ\}$  достаточно найти координаты волновых векторов  $\mathbf{k}_s$  и  $\mathbf{k}_i$ . Сделать это можно с помощью последовательности из четырех поворотов (рис. 1), совмещающих орт вдоль  $Z$  системы координат  $XYZ$  с единичным вектором, направленным вдоль  $\mathbf{k}_{s,i}$ :

$$\mathbf{k}_{s,i} = |\mathbf{k}_{s,i}| R_z(\phi_p) R_y(\theta_p) R_z(\phi_{s,i}) R_y(\theta_{s,i}) \begin{pmatrix} 0 \\ 0 \\ 1 \end{pmatrix}, \quad (24)$$

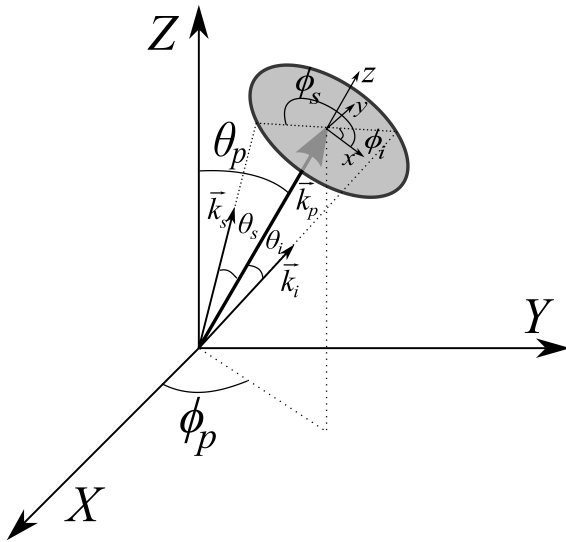


Рис. 1. Геометрия СПР относительно кристаллофизической системы координат {XYZ} и системы координат {xyz}, связанной с накачкой

где  $R_y$  и  $R_z$  определены в (17), (18). Подставив (24) и (12) в (11) и взяв полюсь с большей длиной, получим направление вектора  $\mathbf{D}$  излучения СПР, необходимое для вычисления квантового состояния (22).

### 3.3. Численные расчеты

Согласно приведенным выше выражениям, осуществлен расчет направления вектора  $\mathbf{D}$  в кристаллах ВВО ( $\beta$ -борат бария) и ВиВО (триборат висмута). Для расчетов использовались уравнения Селлмейера для ВВО [42] и ВиВО (с коррекцией на показатель преломления воздуха, см. [43]). Расчеты проводились для накачки на длине волны 405 нм, в вырожденном по частоте режиме. Рассматривались углы рассеяния 0, 3°, 10°, 17° и 30° снаружи кристалла, для двусосного кристалла ВиВО угол рассеяния считался для  $\phi_s = 0$ . Для кристалла ВиВО расчеты проведены для  $\phi_p = 45^\circ$  и  $\phi_p = 90^\circ$ . Расчеты для одноосного кристалла ВВО не зависят от угла  $\phi_p$  в силу симметрии эллипсоида волновых нормалей. Соответствующие углы  $\theta_p$  приведены в таблице. Проведен расчет угла девиации поляризации СПР  $\gamma(\theta_{s,i}, \phi_{s,i})$ , определяемого как угол между направлением колебаний вектора  $\mathbf{D}$  излучения в неколлинеарном режиме и направлением колебаний вектора

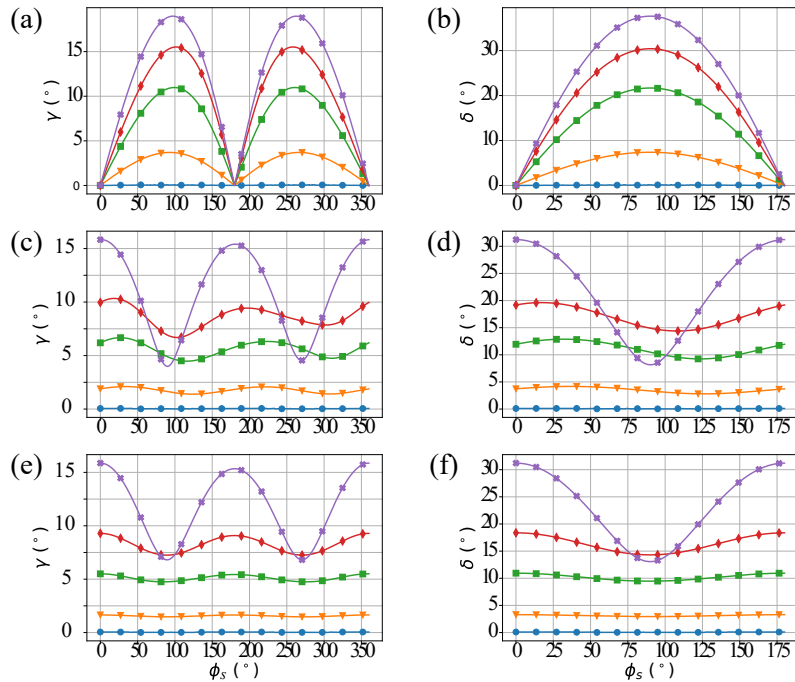
Таблица 1. Параметры кристаллов, используемые при расчете. Расчеты проведены для кристаллов ВВО и ВиВО (с фиксированным значением  $\phi_p = 45^\circ$  и  $\phi_p = 90^\circ$ ) с различными значениями  $\theta_p$ , соответствующими значениям угла рассеяния  $\theta_s^{out}$  (0, 3°, 10°, 17° и 30°) снаружи кристалла при  $\phi_s = 0$

	$\theta_s^{out}$ , град.	$\theta_p$ , град.	$\arccos s_1$ , град.	$\arccos s_2$ , град.
ВВО	0	28.82	90.0	90.0
	3	29.24	86.8	86.8
	10	33.32	81.0	81.0
	17	41.15	78.6	78.6
	30	67.86	83.0	83.0
ВиВО, $\phi_p = 45^\circ$	0	141.39	90.0	90.0
	3	141.06	89.4	89.2
	10	137.74	88.4	86.8
	17	131.09	87.4	84.6
	30	104.84	88.8	87.5
ВиВО, $\phi_p = 90^\circ$	0	152.08	90	90
	3	151.71	88.5	88.5
	10	148.06	85.2	85.2
	17	141.05	82.8	82.8
	30	118.38	83.5	83.5

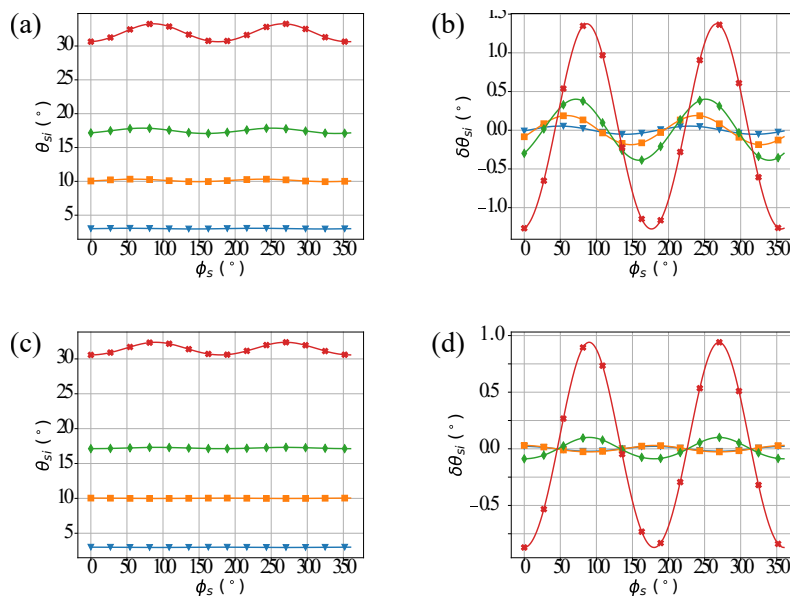
$\mathbf{D}$  волны того же типа с  $\mathbf{k}_{s,i} \parallel \mathbf{k}_p$  при тех же параметрах  $\theta_p$ ,  $\phi_p$  и длине волны.

На рис. 2 показаны зависимости от азимутального направления рассеяния  $\phi_s$  угла  $\gamma$  девиации поляризации СПР при переходе от коллинеарного режима к неколлинеарному и угла  $\delta$  между векторами  $\mathbf{D}$  сигнальной и холостой волн СПР. На рис. 2 видно, что значение угла девиации поляризации может принимать значения, превышающие 15°, при этом значение угла между векторами  $\mathbf{D}$  сигнальной и холостой волн превышает 30°.

Отметим, что в одноосном кристалле ВВО существуют направления ( $\phi_s = 0, 180^\circ$ ), при которых угол девиации поляризации равен нулю. Это связано с тем, что кристалл ВВО — одноосный и отрицательный, вследствие чего генерируемые в результате СПР волны — обыкновенные. При указанных положениях направление векторов  $\mathbf{D}$  перпендикулярно одной и той же главной плоскости. В двусосном кристалле ВиВО, напротив, в неколлинеарном режиме направление вектора  $\mathbf{D}$  не совпадает с направлением вектора  $\mathbf{D}$  в коллинеарном режиме. Также от-



**Рис. 2.** *a, c, e* — Зависимости угла  $\gamma$  между вектором  $\mathbf{D}$  излучения СПР в неколлинеарном и коллинеарном режимах от азимутального направления рассеяния  $\phi_s$ ; *b, d, f* — зависимости угла  $\delta$  между векторами  $\mathbf{D}$  сигнальной и холостой волн от азимутального направления рассеяния  $\phi_s$ . Графики (*a, b*) — для кристалла ВВО; (*c, d*) — для кристалла ВiВО,  $\phi_p = 45^\circ$ ; (*e, f*) — для кристалла ВiВО,  $\phi_p = 90^\circ$ . Синие кружки, оранжевые треугольники, зеленые квадраты, красные ромбы и пурпурные крестики соответствуют углам рассеяния  $0^\circ, 3^\circ, 10^\circ, 17^\circ$  и  $30^\circ$  снаружи кристалла



**Рис. 3.** *a, c* — Зависимости угла неколлинеарности (снаружи кристалла) от азимутального направления рассеяния  $\phi_s$ ; *b, d* — зависимости отклонения угла рассеяния от среднего значения по азимутальному направлению от азимутального направления рассеяния  $\phi_s$ . Графики (*a, b*) — для кристалла ВiВО,  $\phi_p = 45^\circ$ ; (*c, d*) — для кристалла ВiВО,  $\phi_p = 90^\circ$ . Синие треугольники, оранжевые квадраты, зеленые ромбы, красные крестики соответствуют углам рассеяния  $3^\circ, 10^\circ, 17^\circ$  и  $30^\circ$  снаружи кристалла (при  $\phi_s = 0$ )

метим, что графики для ВВО и ВиВО при  $\phi_p = 90^\circ$  симметричны при  $\phi_s \leftrightarrow 360^\circ - \phi_s$ , что связано с симметричностью сечений эллипсоида волновых нормалей. При  $\phi_p = 45^\circ$  эта симметрия теряется, что также сказывается и на симметрии направления вектора  $\mathbf{D}$ .

В одноосном кристалле ВВО излучение СПР является обыкновенной волной, и значение показателя преломления не зависит от направления рассеяния. Вследствие этого, условия фазового синхронизма означают, что излучение СПР формирует конус с постоянным углом раствора (углом неколлинеарности). Этот факт широко известен в литературе. Что касается двуосного кристалла ВиВО, то показатель преломления для излучения СПР зависит от направления рассеяния, и, в принципе, угол рассеяния может зависеть от азимутального направления рассеяния. Соответствующих оценок в литературе сделано не было.

На рис. 3 показаны зависимости угла неколлинеарности (снаружи кристалла) от азимутального направления рассеяния для кристалла ВиВО при  $\phi_p = 45^\circ$  и  $\phi_p = 90^\circ$ . Из рис. 3 видно, что для углов рассеяния до  $17^\circ$  значение отклонения угла рассеяния сравнительно мало. В то же время при  $\theta_s \approx 30^\circ$  угол рассеяния изменяется в пределах около  $2^\circ$ , причем для случая  $\phi_p = 45^\circ$  отклонение немного больше, чем для  $\phi_p = 90^\circ$ . Так же, как и у направления вектора  $\mathbf{D}$ , при  $\phi_p = 45^\circ$ , в отличие от  $\phi_p = 90^\circ$ , отсутствует симметрия  $\phi_s \leftrightarrow 360^\circ - \phi_s$ .

#### 4. ВЛИЯНИЕ ДЕВИАЦИИ ПОЛЯРИЗАЦИИ СПР НА ЗАПУТАННОСТЬ БИФОТОНОВ, ГЕНЕРИРУЕМЫХ В ДВУХКРИСТАЛЬНОЙ СХЕМЕ

Явление девиации поляризации в неколлинеарном режиме СПР приводит к ухудшению степени квантовой поляризационной запутанности фотонных пар. Одной из наиболее известных схем получения поляризационно-запутанных фотонных пар является так называемая двухкристальная схема (рис. 4), состоящая из двух последовательно расположенных одинаковых нелинейных кристаллов, ориентированных ортогонально. Падая на нелинейные кристаллы, накачка делится по поляризации: ее вертикальная составляющая в первом кристалле участвует в рождении фотонных пар, а горизонтальная — не участвует и проходит практически без взаимодействия, так как условия фазового синхронизма для данной компоненты не выполнены. Во втором кристалле, наоборот, горизонтальная

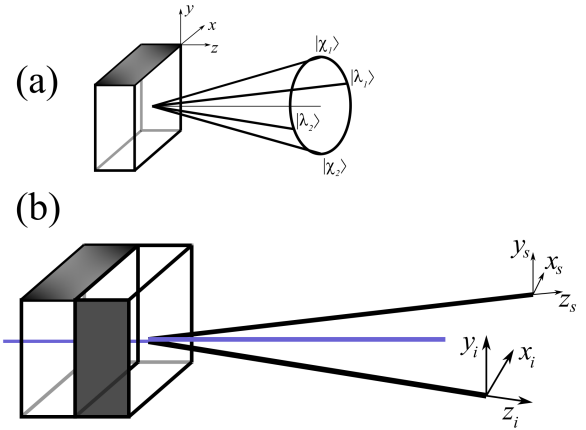


Рис. 4. *a* — Один из кристаллов двухкристальной схемы. Схематично показаны квантовые поляризационные состояния одиночных фотонов, соответствующие направлениям сбора в двухкристальной схеме. *b* — Оптическая схема источника — двухкристальная схема. Показано расположение скрещенных нелинейных кристаллов

составляющая участвует в рождении фотонной пары, а вертикальная составляющая накачки — нет. При этом квантовое состояние на выходе двухкристальной схемы в приближении плоских сигнальной, холостой волн и волны накачки имеет вид [44]

$$|\Psi\rangle \propto \cos \varphi |\lambda_1\rangle \otimes |\lambda_2\rangle + \sin \varphi e^{i\phi} |\chi_1\rangle \otimes |\chi_2\rangle, \quad (25)$$

где первое слагаемое — амплитуда квантового поляризационного состояния, генерируемого в первом нелинейном кристалле, а второе — в следующем нелинейном кристалле,  $\phi$  — фаза между амплитудами, регулируемая с помощью эллиптичности поляризации накачки,  $\otimes$  означает тензорное произведение,  $\varphi$  — параметр, описывающий долю квантового состояния, генерируемого в каждом из нелинейных кристаллов, в квантовом состоянии  $|\Psi\rangle$ . Состояние  $|\lambda_1\rangle$  является поляризационным состоянием фотона в сигнальной моде, рассеянного под азимутальным углом  $\phi_s = 0$ ,  $|\lambda_2\rangle$  — поляризационное состояние фотона в холостой моде при  $\phi_i = 180^\circ$ ,  $|\chi_1\rangle$  — поляризационное состояние фотона в сигнальной моде при  $\phi_s = 90^\circ$ ,  $|\chi_2\rangle$  — поляризационное состояние фотона при  $\phi_i = 270^\circ$ . Зависимостью угла СПР  $\theta_{s,i}$  от азимутального направления пренебрегается. Каждая амплитуда является произведением поляризационных состояний фотона в сигнальной и холостой модах соответственно. В лабораторном базисе для сигнального и холостого пучка состояния



поляризации одиночного фотона имеют вид

$$\begin{aligned} |\lambda_1\rangle &= \begin{pmatrix} \cos \theta_1^s \\ \sin \theta_1^s \end{pmatrix}, |\lambda_2\rangle = \begin{pmatrix} \cos \theta_1^i \\ \sin \theta_1^i \end{pmatrix}, \\ |\chi_1\rangle &= \begin{pmatrix} \cos \theta_2^s \\ \sin \theta_2^s \end{pmatrix}, |\chi_2\rangle = \begin{pmatrix} \cos \theta_2^i \\ \sin \theta_2^i \end{pmatrix}, \end{aligned} \quad (26)$$

$\theta_{1,2}^{s,i}$  — значение угла между направлением вектора  $\mathbf{D}$  и ортом  $x_{s,i}$  в сигнальном и холостом пучках СПР. Индексы «1» и «2» отвечают излучению СПР, формирующемуся соответственно в первом и втором кристаллах схемы. Отметим, что поляризационное состояние каждого фотона описывается в двумерном комплексном гильбертовом пространстве, а поляризационное состояние фотонной пары — в пространстве размерностью  $2 \times 2$ . Для описания запутанности двухчастичной системы, состоящей из двумерных подсистем, существует целый набор метрик [45], таких как «Concurrence», «Tangle» (сцепленность), перепутывание формирования. Мы используем сцепленность, так как она наиболее чувствительна к изменению квантового состояния в области больших степеней квантовой запутанности [46]. Для чистого квантового состояния сцепленность можно выразить в виде [44]

$$T(|\Psi\rangle) = |\langle \Psi | \hat{\sigma}_2 \otimes \hat{\sigma}_2 | \Psi^* \rangle|, \quad (27)$$

где \* означает комплексное сопряжение, а

$$\hat{\sigma}_2 = \begin{pmatrix} 0 & -i \\ i & 0 \end{pmatrix} \quad (28)$$

— матрица Паули. Сцепленность принимает значение 1 для максимально запутанного квантового состояния и 0 для факторизованного квантового состояния.

Сцепленность для квантового состояния (25) принимает значение

$$T(|\Psi\rangle) = \frac{\sin^2 2\alpha (1 - |s_1|^2)(1 - |s_2|^2)}{1 + \sin 2\alpha \operatorname{Re}(s_1 s_2 e^{i\phi})}, \quad (29)$$

где

$$s_{1,2} = \langle \lambda_{1,2} | \chi_{1,2} \rangle.$$

Значение  $T(|\Psi\rangle) = 1$ , если  $s_1 = s_2 = 0$ , либо

$$\begin{aligned} |s_1| &= |s_2|, \\ \alpha &= \pi/4 + n\pi, \\ \phi &= \pi - \arg(s_1 s_2) + n\pi, \end{aligned} \quad (30)$$

где  $n$  — целое число. Первое условие означает, что углы между векторами  $\mathbf{D}$   $|\lambda_1\rangle$ ,  $|\chi_1\rangle$  и  $|\lambda_2\rangle$ ,  $|\chi_2\rangle$

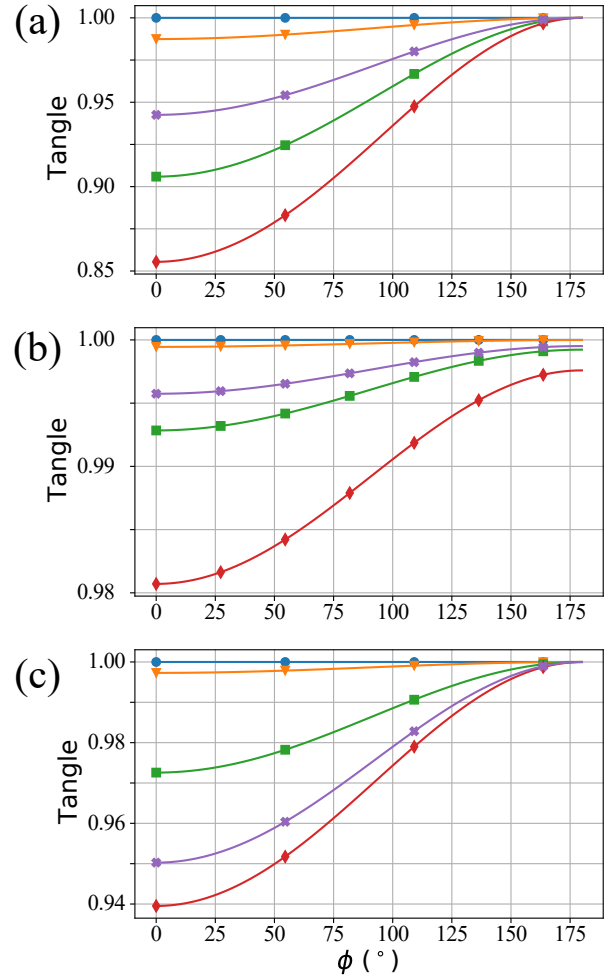


Рис. 5. Зависимости сцепленности (Tangle) от фазы  $\phi$  для кристалла ВВО (а), кристалла ВiVO при  $\phi_p = 45^\circ$  (b), кристалла ВiVO при  $\phi_p = 90^\circ$  (c). Синие кружки, оранжевые треугольники, зеленые квадраты, красные ромбы и пурпурные крестики соответствуют углам рассеяния  $0^\circ$ ,  $3^\circ$ ,  $10^\circ$ ,  $17^\circ$  и  $30^\circ$  снаружи кристалла. Соответствующие углы  $\theta_p$  приведены в таблице

должны быть равны. Следующее условие означает, что модули амплитуд квантового состояния, соответствующие первому и второму кристаллу, должны быть равны. Третье условие говорит о том, что для получения квантового состояния с максимально возможной степенью запутанности необходимо задать оптимальное значение фазы между излучением, формируемым в первом и втором кристаллах схемы.

На рис. 5 представлены зависимости сцепленности от фазы  $\phi$  для кристалла ВВО и кристалла ВiVO при  $\phi_p = 45^\circ$  и  $\phi_p = 90^\circ$ . Вычисления проведены для углов рассеяния  $0^\circ$ ,  $3^\circ$ ,  $10^\circ$ ,  $17^\circ$  и  $30^\circ$

снаружи кристалла. Из рис. 5 видно, что для кристалла  $\text{BiVO}_4$  при  $\phi = 0$  при увеличении угла рассеяния от  $0$  до  $30^\circ$  сцепленность уменьшается с  $1$  до  $0.85$ . При этом для двуосного кристалла  $\text{BiVO}_4$  при  $\phi_p = 45^\circ$  по мере увеличения угла рассеяния сцепленность уменьшается на меньшую величину (с  $1$  до  $0.98$ ). При  $\phi_p = 90^\circ$  уменьшение сцепленности более выражено по сравнению с  $\phi_p = 45^\circ$ . В то же время при использовании кристаллов  $\text{VVO}$  и кристаллов  $\text{BiVO}_4$  с  $\phi_p = 90^\circ$  значение сцепленности может быть полностью восстановлено до значения  $1$  при  $\phi = 180^\circ$ . При  $\phi_p = 45^\circ$  полного восстановления сцепленности не происходит. Это связано с тем, что из-за симметрии в кристалле  $\text{VVO}$  и кристалле  $\text{BiVO}_4$   $|s_1| = |s_2|$ , а в кристалле  $\text{BiVO}_4$  при  $\phi_p = 45^\circ$   $|s_1| \neq |s_2|$  (см. таблицу).

## 5. ЗАКЛЮЧЕНИЕ

В работе даны аналитические выражения для направления колебаний векторов  $\mathbf{D}$  и  $\mathbf{E}$  излучения, распространяющегося в одноосных и двуосных нелинейно-оптических кристаллах, а также значения показателя преломления. Полученные выражения использованы для вычисления значения угла девиации поляризации СПР  $\gamma$ , а также угла между поляризацией сигнальной и холостой волн  $\delta$  в кристаллах  $\text{VVO}$  и  $\text{BiVO}_4$ . Показано, что значение  $\gamma$  может превышать  $15^\circ$ , а значение  $\gamma - 30^\circ$ . Полученные оценки свидетельствуют о важности учета девиации поляризации СПР в неколлинеарном режиме при создании источников поляризационно-запутанных фотонных пар. Также учет девиации поляризации СПР требуется при расчете значения эффективной нелинейности в неколлинеарном СПР. Эти результаты также могут быть использованы при создании фантомных поляриметров, в которых систематическая ошибка из-за явления девиации поляризации устранена.

Впервые сделаны оценки для отклонения формы конуса СПР. Показано, что при угле рассеяния  $\approx 30^\circ$  при изменении азимутального направления угол рассеяния изменяется в пределах  $2^\circ$ . При этом при направлении  $\phi_s = 0; 180^\circ$  угол рассеяния уменьшается, а при  $\phi_s = 90^\circ; 270^\circ$  угол рассеяния, наоборот, увеличивается. Это означает, что в двухкристальной схеме с большими углами рассеяния требуется оценка отклонения формы конуса СПР для того, чтобы излучение, генерируемое в двух последовательно расположенных нелинейных кристаллах, пространственно совпадало.

Получено, что негативное влияние девиации поляризации на степень квантовой запутанности (сцепленность) в двухкристальной схеме при использовании двуосных кристаллов может быть улучшено с помощью выбора оптимального параметра  $\phi$ , определяемого эллиптичностью поляризации накачки. При этом при  $|s_1| = |s_2|$  можно достичь максимальной степени квантовой запутанности, а при  $|s_1| \neq |s_2|$  сцепленность может быть восстановлена лишь частично. Этот результат позволит в будущем создавать источники поляризационно-запутанных фотонных пар со степенью запутанности, близкой к максимальной.

**Благодарности.** Авторы благодарят А. С. Чиркина за полезные обсуждения и неоценимую поддержку на всех этапах работы.

**Финансирование.** Работа выполнена за счет средств гранта Российского научного фонда (проект № 21-12-00155).

## ЛИТЕРАТУРА

1. Д. Н. Клышко, Письма в ЖЭТФ **6**, 490 (1967) [D. N. Klyshko, JETP Lett. **6**, 490 (1967)].
2. C. Zhang et al., Adv. Quant. Technol. **4**, 2000132 (2021).
3. S. V. Vintskevich, D. A. Grigoriev, and M. V. Fedorov, Laser Phys. Lett. **16**, 065203 (2019).
4. G. Brida, M. Genovese, and M. Gramegna, Laser Phys. Lett. **3**, 115 (2005).
5. A. N. Penin and A. V. Sergienko, Appl. Opt. **30**, 3582 (1991).
6. П. П. Гостев, Д. П. Агапов, А. В. Демин, Измерительная техника **12**, 27 (2018) [P. P. Gostev, D. P. Agapov, A. V. Demin et al., Measurement Techniques **61**, 1166 (2019)].
7. P. A. Prudkovskii, P. A. Safronenkov, and G. Kh. Kitaeva, Opt. Lett. **47**, 4842 (2022).
8. J. Matthews, X.-Q. Zhou, H. Cable et al., NPJ Quant. Inf. **2**, 1 (2016).
9. C. Couteau, Contemp. Phys. **59**, 291 (2018).
10. D. Bouwmeester, J.-W. Pan, M. Daniell et al., Phys. Rev. Lett. **82**, 1345 (1999).
11. H.-S. Zhong, Y. Li, W. Li et al., Phys. Rev. Lett. **121**, 250505 (2018).
12. P.-G. Kwiat, E. Waks, and A. G. White, Phys. Rev. A **60**, R773 (1999).

13. C. E. Kuklewicz, M. Fiorentino, G. Messin et al., *Phys. Rev. A* **69**, 013807 (2004).
14. F. N. C. Wong, J. H. Shapiro, and T. Kim, *Laser Phys.* **16**, 1517 (2006).
15. M. Barbieri, C. Cinelli, F. de Martini et al., *Laser Phys.* **16**, 1439 (2006).
16. K. A. Kuznetsov, E. I. Malkova, and R. V. Zakharov, *Phys. Rev. A* **101**, 053843 (2020).
17. К. Г. Катамадзе, С. П. Кулик, *ЖЭТФ* **139**, 26 (2011) [K. G. Katamadze and S. P. Kulik, *JETP* **112**, 20 (2011)].
18. N. A. Borshchevskaya, F. Just, K. G. Katamadze et al., *Laser Phys. Lett.* **16**, 085207 (2019).
19. М. В. Чехова, О. А. Шумилкина, *Письма в ЖЭТФ* **91**, 718 (2010) [M. V. Chekhova and O. A. Shumilkina, *JETP Lett.* **91**, 649 (2010)].
20. R. Rangarajan, L. E. Vicent, A. B. U'Ren, and P. G. Kwiat, *J. Mod. Opt.* **58**, 318 (2011).
21. M. V. Fedorov, *Phys. Rev. A* **93**, 033830 (2016).
22. M. Reichert, H. Defienne, and J. W. Fleischer, *Scientific Reports* **8**, 7925 (2018).
23. F. Just, A. Cavanna, M. V. Chekhova, and G. Leuchs, *New J. Phys.* **15**, 083015 (2013).
24. D. N. Frolovtssev and S. A. Magnitskiy, *Phys. Wave Phenomena* **25**, 180 (2017).
25. D. N. Frolovtssev and S. A. Magnitskiy, *EPJ Web of Conf.* **220**, 03016 (2019).
26. A. Migdall, *JOSA B* **14**, 1093 (1997)
27. Д. Ю. Степанов, В. Д. Шигорин, Г. П. Шипуло, *КЭ* **11**, 1957 (1984) [D. Yu. Stepanov, V. D. Shigorin, and G. P. Shipulo, *Sov. J. Quant. Electron.* **14**, 1315 (1984)].
28. J. Q. Yao and T. S. Fahlen, *J. Appl. Phys.* **55**, 65 (1984).
29. N. Boeuf, D. A. Branning, I. Chaperot et al., *Opt. Eng.* **39**, 1016 (2000).
30. G.-W. Huo, T.-Y. Zhan, R.-G. Wan et al., *Proc. SPIE* **8333**, 261 (2012).
31. R. Akbari and Major, *Laser Phys.* **23**, 035401 (2013).
32. A. S. Chirkin, P. P. Gostev, D. P. Agapov, and S. A. Magnitskiy, *Laser Phys. Lett.* **15**, 115404 (2018).
33. S. A. Magnitskiy, D. P. Agapov, and A. S. Chirkin, *Opt. Lett.* **47**, 754 (2022).
34. Д. А. Балакин, А. В. Белинский, *ЖЭТФ* **160**, 35 (2021) [D. A. Balakin and A. V. Belinsky, *JETP* **133**, 26 (2021)].
35. Л. Д. Ландау, Е. М. Лифшиц, *Электродинамика сплошных сред*, Гостехиздат, Москва (1957) [L. D. Landau et al., *Electrodynamics of Continuous Media* Vol. 8, Elsevier (2013)].
36. М. Борн, Э. Вольф, *Основы оптики*, Наука, Москва (1973) [M. Born and E. Wolf, *Principles of Optics: Electromagnetic Theory of Propagation, Interference and Diffraction of Light*, Elsevier (2013)].
37. В. Г. Дмитриев, Л. В. Тарасов, *Прикладная нелинейная оптика*, Физматлит, Москва (2004) [V. G. Dmitriev and L. V. Tarasov, *Applied Nonlinear Optics: Second-Harmonic Generators and Parametric Light-Generators*, Radio Sviaz, Moscow (1982)].
38. E. Kreuzig, *Advanced Engineering Mathematics*, Willey (1972).
39. Л. А. Кривицкий, С. П. Кулик, Г. А. Масленников, М. В. Чехова, *КЭ* **35**, 69 (2005) [L. A. Krivitskii, S. P. Kulik, G. A. Maslennikov, and M. V. Chekhova, *Quant. Electron.* **35**, 69 (2005)].
40. E. W. Weisstein, *Rotation Matrix*, Wolfram Research (2003).
41. Л. Мандел, Э. Вольф, *Оптическая когерентность и квантовая оптика*, Физматлит, Москва (2000) [L. Mandel and E. Wolf, *Optical Coherence and Quantum Optics*, Cambridge University Press, Cambridge (1995)].
42. K. Kato, *IEEE J. Quant. Electron.* **22**, 1013 (1986).
43. H. Hellwig, J. Liebertz, and L. Bohatý, *J. Appl. Phys.* **88**, 240 (2000).
44. D. N. Frolovtssev and S. A. Magnitskiy, *Proc. of ICLO*, 1 (2020).
45. W. K. Wothers, *Quant. Inf. Comput.* **1**, 27 (2001).
46. N. A. Peters, T.-C. Wei, and P. G. Kwiat, *Phys. Rev. A* **70**, 052309 (2004).